



ASD
Route de Neuville
08460 LALOBBE
Tél.: +33 (0)3 24 59 41 91
Fax: +33 (0)3 24 59 01 97

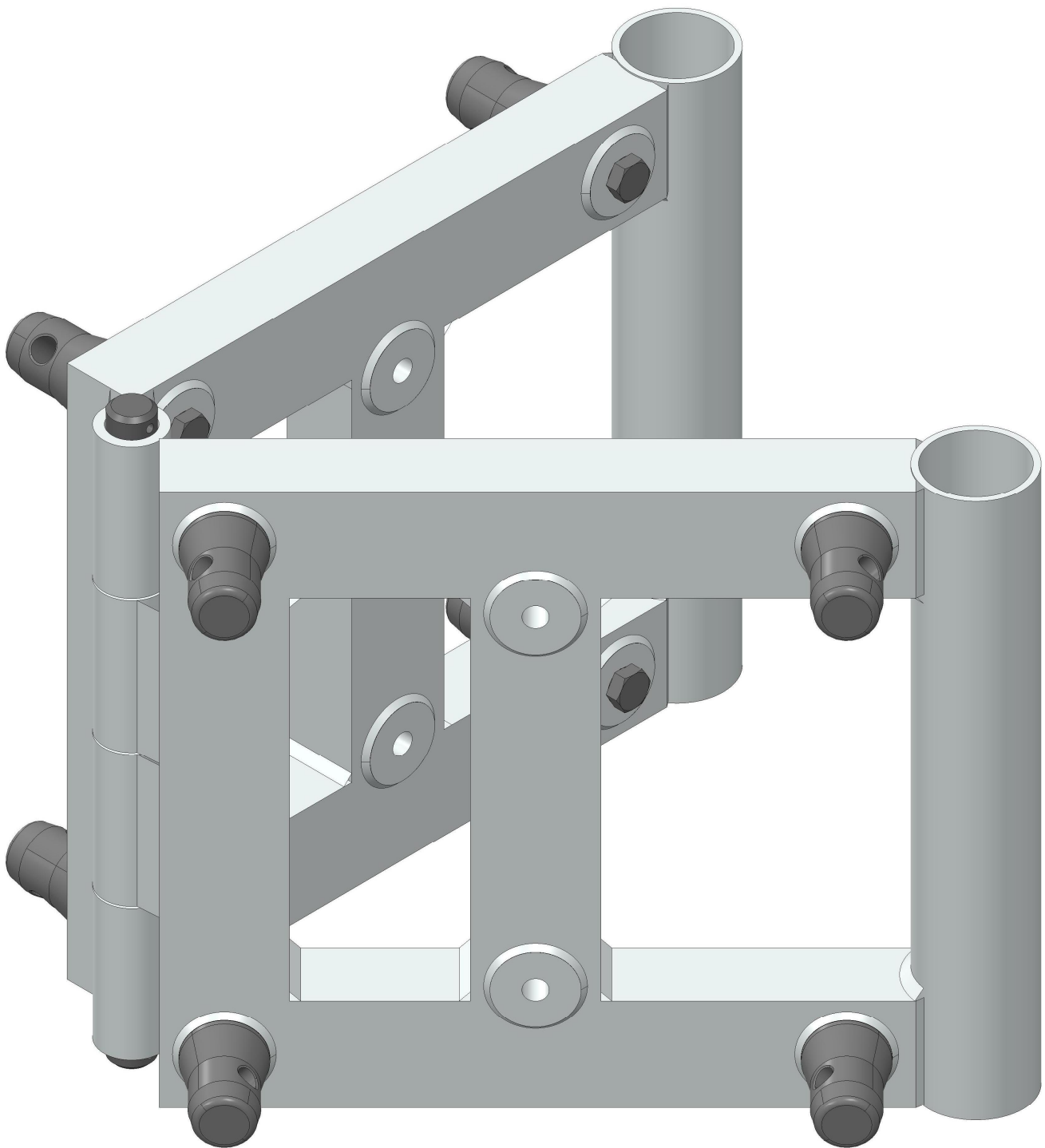
Note de calcul : ANGV259 - ALU

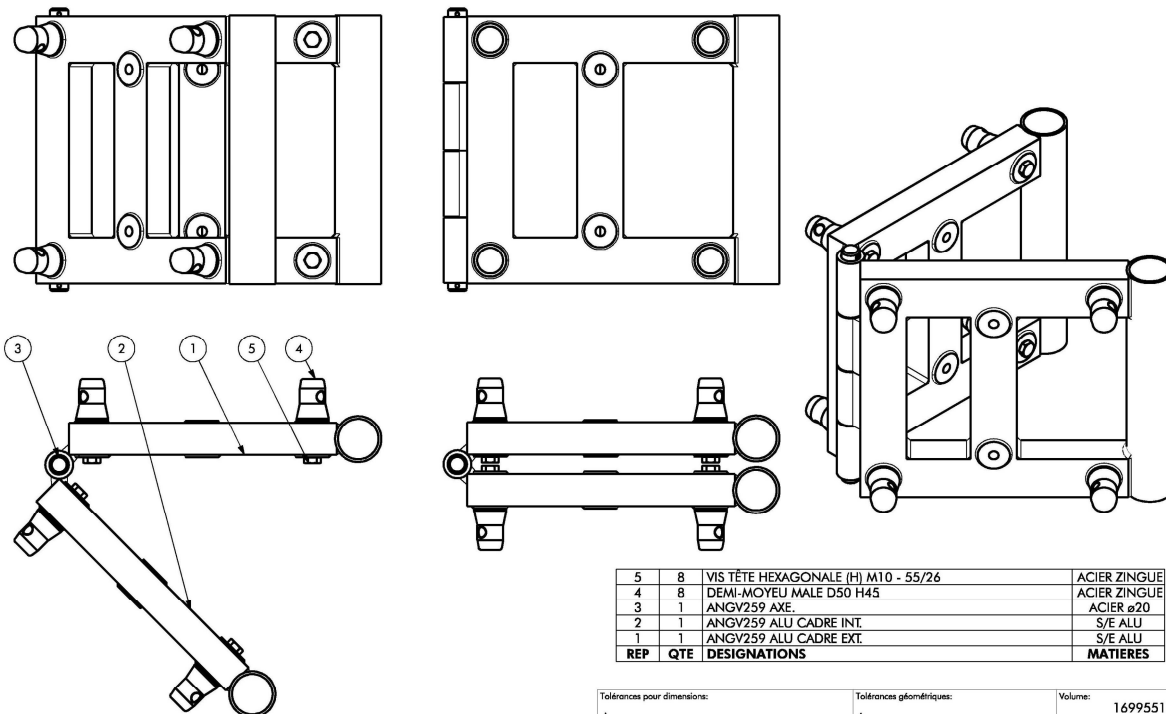
Date: samedi 17 novembre 2018

Concepteur: PA

Sommaire

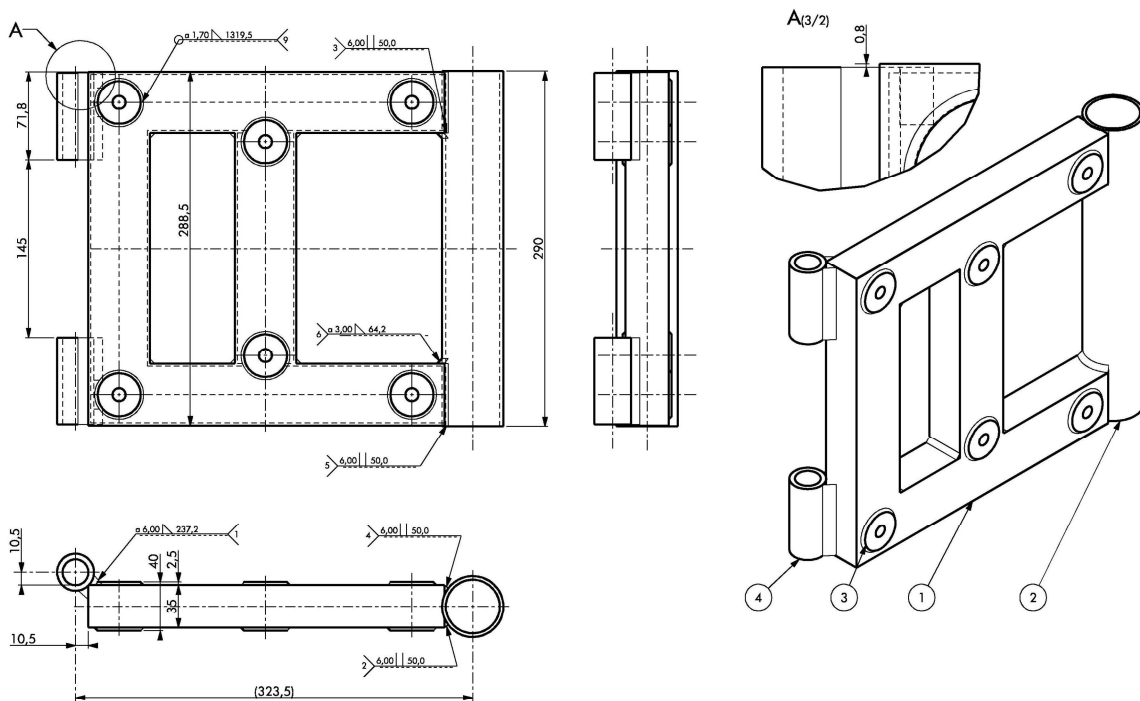
| | |
|---|----|
| Description ANGV259 ALU: | 4 |
| Caractéristiques - ALU 6060-T6 : | 4 |
| Caractéristiques - Alu 6005A-T6 : | 4 |
| Caractéristiques - ACIER S235 : | 5 |
| Caractéristiques - Tube Alu Rectangulaire 50-35-2 : | 5 |
| Caractéristiques - Tube ø50-3 : | 5 |
| Caractéristiques - Rond ø20 : | 6 |
| Paramètres du calcul du logiciel Freelem 11.0.0, conformément à l'Eurocode3 | 6 |
| Hypothèses : | 7 |
| Plan de chargement : | 7 |
| Calcul ANGV259 ALU | 8 |
| Tableau des nœuds | 8 |
| Tableau des barres | 8 |
| Caractéristiques matériaux | 9 |
| Caractéristiques profilés | 9 |
| Tableau des chargements | 9 |
| Tableau des combinaisons | 9 |
| Résultats : | 10 |
| Résultats déplacements ELS 201 | 10 |
| Résultats réactions ELU 301 | 11 |
| Résultats contraintes ELU 301 | 12 |
| Conclusion : | 13 |





| REP | QTE | DESIGNATIONS | MATIERES |
|-----|-----|-------------------------------------|--------------|
| 5 | 8 | VIS TÊTE HEXAGONALE (H) M10 - 55/26 | ACIER ZINGUE |
| 4 | 8 | DEMI-MOYEU MALE D50 H45 | ACIER ZINGUE |
| 3 | 1 | ANGV259 AXE | ACIER e20 |
| 2 | 1 | ANGV259 ALU CADRE INT. | S/E ALU |
| 1 | 1 | ANGV259 ALU CADRE EXT. | S/E ALU |

| Tolérances pour dimensions: | | Tolérances géométriques: | Volume: |
|-----------------------------|--|--------------------------|-------------------------|
| Traitement Thermique: | | Traitement de Surface: | 1699551 mm ³ |
| Matière: S/E ALU | Nuance: | Poids: | 6,420 Kg |
| Echelle: Générale 3/10 | Toute reproduction même partielle, et toute communication à des tiers, de plan est interdite sans autorisation | Format: | ASD |
| Formate: | Désignation: | Créé par: PA | Modifié par: . |
| | | le: 06.11.2018 | Plan N°: . |
| | | | Indice Plan: / 1/5 |



| REP | QTE | DESIGNATIONS | MATIERES |
|-----|-----|-----------------------------|-------------|
| 4 | 2 | ANGV259 ALU TUBE CHARNIERE | ALU |
| 3 | 6 | ANGV259 ALU TUBE FIXE MOYEU | ALU |
| 2 | 1 | TUBE ALU ø50-3 L=0290 | ALU |
| 1 | 1 | ANGV259 ALU CHASSIS | ALU 50-35-2 |

ANGV259 ALU CADRE EXT . / 2/5

Description ANGV259 ALU:

Le cadre ext ANGV259 ALU (suivant plan ci-dessus) est constitué de:

- 1 cadre, en tube alu rectangulaire de 50-35-2, en ALU 6005A-T6
- 1 tube central, en tube alu rectangulaire de 50-35-2, en ALU 6005A-T6
- 1 tube vertical extérieur, en tube alu ø50-3, en ALU 6005A-T6
- 2 tubes charnière, en tube alu ø30-4.5 L=71mm, en ALU 6060-T6
- 6 bossages, en rond alu ø35, en ALU 6060-T6

Le cadre int ANGV259 ALU (suivant plan ci-dessus) est constitué de:

- 1 cadre, en tube alu rectangulaire de 50-35-2, en ALU 6005A-T6
- 1 tube central, en tube alu rectangulaire de 50-35-2, en ALU 6005A-T6
- 1 tube vertical extérieur, en tube alu ø50-3, en ALU 6005A-T6
- 2 tubes charnière, en tube alu ø30-4.5 L=71mm, en ALU 6060-T6
- 6 bossages, en rond alu ø35, en ALU 6060-T6

L'ANGV259 ALU est assemblé par :

- 1 axe, en rond ø20, en ACIER S235
- 2 goupilles ø4mm

Caractéristiques - ALU 6060-T6 :

Limite d'élasticité = $f_y > 140 \text{ MPa}$

Résistance traction = $f_u > 170 \text{ MPa}$

Allongement 50mm = $A_{50} > 6\%$

Dureté HB2.5 / 62.5 > 90HB

Module d'élasticité longitudinale = $E = 79500 \text{ MPa}$

Module d'élasticité transversale = $G = 27000 \text{ MPa}$

Coefficient de Poisson = $\nu = 0.30$

Coefficient de dilatation = $\alpha = 2.0 \times 10^{-5} (\text{}/\text{K})$

Masse volumique = $\rho = 2700 \text{ kg/m}^3$

Caractéristiques - Alu 6005A-T6 :

Limite d'élasticité = $f_y > 225 \text{ MPa}$

Résistance traction = $f_u > 270 \text{ MPa}$

Allongement 50mm = $A_{50} > 6\%$

Dureté HB2.5 / 62.5 > 90HB

Module d'élasticité longitudinale = $E = 79500 \text{ MPa}$

Module d'élasticité transversale = $G = 27800 \text{ MPa}$

Coefficient de Poisson = $\nu = 0.30$

Coefficient de dilatation = $\alpha = 2.0 \times 10^{-5} (\text{}/\text{K})$

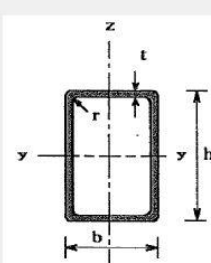
Masse volumique = $\rho = 2700 \text{ kg/m}^3$

Caractéristiques - ACIER S235 :

Limite d'élasticité = $f_y > 235 \text{ MPa}$
 Résistance traction = $f_u > 355 \text{ MPa}$
 Résistance au cisaillement = $R_t > 140 \text{ MPa}$
 Module d'élasticité longitudinale = $E = 210000 \text{ MPa}$
 Module d'élasticité transversale = $G = 80800 \text{ MPa}$
 Coefficient de Poisson = $\nu = 0.3$
 Coefficient de dilatation = $\alpha = 12 \times 10^{-6} (\text{}/\text{K})$
 Masse volumique = $\rho = 7850 \text{ kg/m}^3$

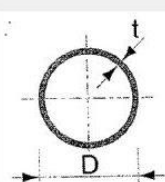
Caractéristiques - Tube Alu Rectangulaire 50-35-2 :

| | |
|--|--|
| Nom | RECT 50-35-2 |
| Dimension h (D pour tube) | 50 mm |
| Dimension b (D pour tube) | 35 mm |
| Epaisseur âme | 2 mm |
| Epaisseur ailes | 2 mm |
| Aire | 324 mm ² |
| Section réduite Y | 140 mm ² |
| Section réduite Z | 200 mm ² |
| Facteur de résistance au cisaillement Y | 116.67 mm ² |
| Facteur de résistance au cisaillement Z | 166.67 mm ² |
| Inertie de torsion | 12.39 cm ⁴ |
| Inertie Iy (flexion forte) | 11.31 cm ⁴ |
| Inertie Iz (flexion faible) | 6.44 cm ⁴ |
| Module de torsion | 6.34 cm ³ |
| Module de flexion élastique fort Wely | 4.52 cm ³ |
| Module de flexion plastique fort Wply | 5.48 cm ³ (EC3 - flexion classes 1/2) |
| Module de flexion élastique faible Welz | 3.68 cm ³ |
| Module de flexion plastique faible Wplz | 4.26 cm ³ (EC3 - flexion classes 1/2) |
| Inertie Iw de gauchissement (cm ⁶) | 0 cm ⁶ (EC3 - déversement) |
| Classe de section (flexion) | 1 (EC3) |



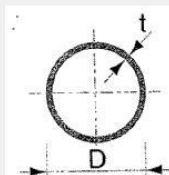
Caractéristiques - Tube ø50-3

| | |
|--|--|
| Nom | TUBE 50-3 AL |
| Dimension h (D pour tube) | 50 mm |
| Dimension b (D pour tube) | 50 mm |
| Epaisseur âme | 3 mm |
| Epaisseur ailes | 3 mm |
| Aire | 442.96 mm ² |
| Section réduite Y | 265.78 mm ² |
| Section réduite Z | 265.78 mm ² |
| Facteur de résistance au cisaillement Y | 265.78 mm ² |
| Facteur de résistance au cisaillement Z | 265.78 mm ² |
| Inertie de torsion | 24.56 cm ⁴ |
| Inertie Iy (flexion forte) | 12.28 cm ⁴ |
| Inertie Iz (flexion faible) | 12.28 cm ⁴ |
| Module de torsion | 9.82 cm ³ |
| Module de flexion élastique fort Wely | 4.91 cm ³ |
| Module de flexion plastique fort Wply | 6.63 cm ³ (EC3 - flexion classes 1/2) |
| Module de flexion élastique faible Welz | 4.91 cm ³ |
| Module de flexion plastique faible Wplz | 6.63 cm ³ (EC3 - flexion classes 1/2) |
| Inertie Iw de gauchissement (cm ⁶) | 0 cm ⁶ (EC3 - déversement) |
| Classe de section (flexion) | 1 (EC3) |



Caractéristiques - Rond ø20 :

| | | |
|--|---------|---|
| Nom | ROND 20 | |
| Dimension h (D pour tube) | 20 | mm |
| Dimension b (D pour tube) | 20 | mm |
| Epaisseur âme | 10 | mm |
| Epaisseur ailes | 10 | mm |
| Aire | 314.16 | mm ² |
| Section réduite Y | 157.08 | mm ² |
| Section réduite Z | 157.08 | mm ² |
| Facteur de résistance au cisaillement Y | 157.08 | mm ² |
| Facteur de résistance au cisaillement Z | 157.08 | mm ² |
| Inertie de torsion | 1.57 | cm ⁴ |
| Inertie Iy (flexion forte) | 0.79 | cm ⁴ |
| Inertie Iz (flexion faible) | 0.79 | cm ⁴ |
| Module de torsion | 1.57 | cm ³ |
| Module de flexion élastique fort Wely | 0.79 | cm ³ |
| Module de flexion plastique fort Wply | 1.33 | cm ³ (EC3 - flexion classes 1/2) |
| Module de flexion élastique faible Welz | 0.79 | cm ³ |
| Module de flexion plastique faible Wplz | 1.33 | cm ³ (EC3 - flexion classes 1/2) |
| Inertie Iw de gauchissement (cm ⁶) | 0 | cm ⁶ (EC3 - déversement) |
| Classe de section (flexion) | 1 | (EC3) |



Paramètres du calcul du logiciel Freelem 11.0.0, conformément à l'Eurocode3

Code de calcul = NF EN 1993-1-1 de octobre 2005 - Calcul des structures en acier (+ annexe de mai 2007)

Les hypothèses de calculs EC3 sont :

- 1 - Pas d'étude de torsion spécifique (torsion intégrée au cisaillement dû aux efforts tranchants)
- 2 - Pas de calculs des caractéristiques efficaces des profils de classe 4 (valeurs élastiques en lieu et place)
- 3 - Simplification pénalisante de l'écriture flexion+axial+cisaillement :
 - pour les profils de classe 1 ou 2 : $N/A + M_fy/W_{ply} + M_fz/W_{plz} \leq (1-p)f_y$
 - pour les profils de classe 3 et 4 : idem avec Wel au lieu de Wpl, avec $p \leq 0.9$
- 4 - Abus de notation en raisonnant directement sur contraintes et non sur efforts/moment (résultats inchangés)
 - σ flexion calculée avec Wpl pour sections classe 1 et 2, Wel sinon
- 5 - Seul le flambement par flexion est étudié, suivant §6.3.1.1, §6.3.1.2 et §6.3.1.3
 - le flambement par flexion-torsion peut être dominant pour les U, les T et les cornières
 - le flambement par torsion peut être dominant pour les profils cruciformes
 - les sections creuses (rond ou rectangle) sont considérées formées à froid, et les I/H laminés (non soudés)
- 6 - Déversement suivant §6.3.2.1 et §6.3.2.2_Cas général
 - charge considérée au niveau des ailes, vers centre de cisaillement, donc $z_g = h/2$ (déstabilisant)
 - Mcr calculé avec longueur = Ldev, $k = k_w = 1$ et $z_j = 0$
 - coef de réduction de déversement calculé uniquement sur I/H considérés laminés (non soudés), et sur U pour les autres profilés, le coefficient de réduction déversement est égal à 1
 - traverses : modèle conseillé = poutre bi-appuyée sous charge linéaire
 - poteaux : modèle conseillé = moments aux extrémités
 - attention au modèle de moments : résultats de déversement fonction du maillage car Mcr dépend de C1 qui lui-même dépend du quotient des contraintes aux nœuds de la barre traitée
- 7 - Interactions flambement/déversement §6.3.3 (6.61) et (6.62), kij selon annexe A

Méthode de calcul des efforts de traction dans les chevilles d'ancre

Equilibrage des moments par les entraxes entre chevilles (pas de prise en compte de compression sur béton)

Vérification des boulons suivant NF P 22-430 janvier 1982

Programmation de la vérification des boulons suivant NF EN 1993-1-8 décembre 2005 §3.6.1 à venir

Critères utilisés NF P 22-430 : (1 seul plan de cisaillement considéré)

$1.25 \times T / Ar \leq \Sigma \text{ADM}$

$1.54 \times C / Ar \leq \Sigma \text{ADM}$

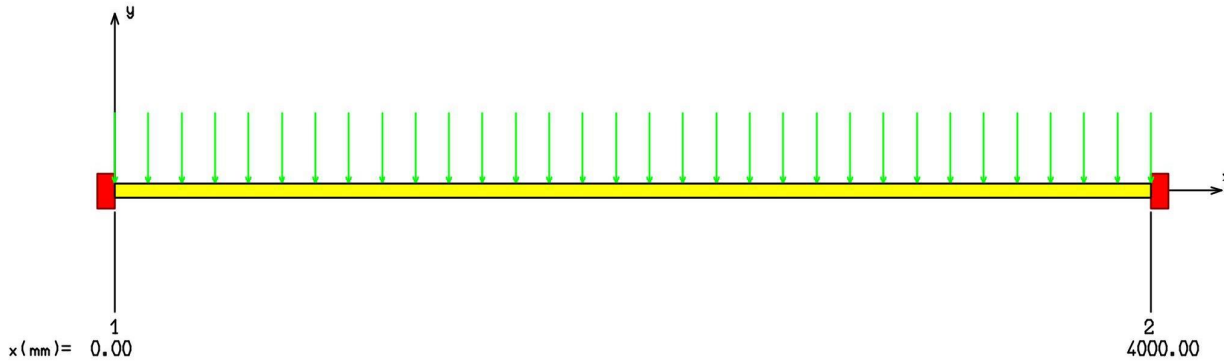
$\sqrt{T^2 + 2.36 C^2} / Ar \leq \Sigma \text{ADM}$

Hypothèses :

- Le poids de l'ANGV259 n'est pas pris en compte
- Nous calculons le cadre EXT uniquement => les 2 tubes charnière sont bloqués en X, Y et Z
- Nous supposons le cadre INT fixé au mur par 4 vis M10

Plan de chargement :

- Nous utilisons une poutre SC300 de longueur 4ml, avec une charge répartie de 381kg/ml
 - Nous divisons cette charge par 4 => 95kg/ml => $P = 380\text{kg}$
 - Nous considérons la poutre encastrée aux 2 extrémités

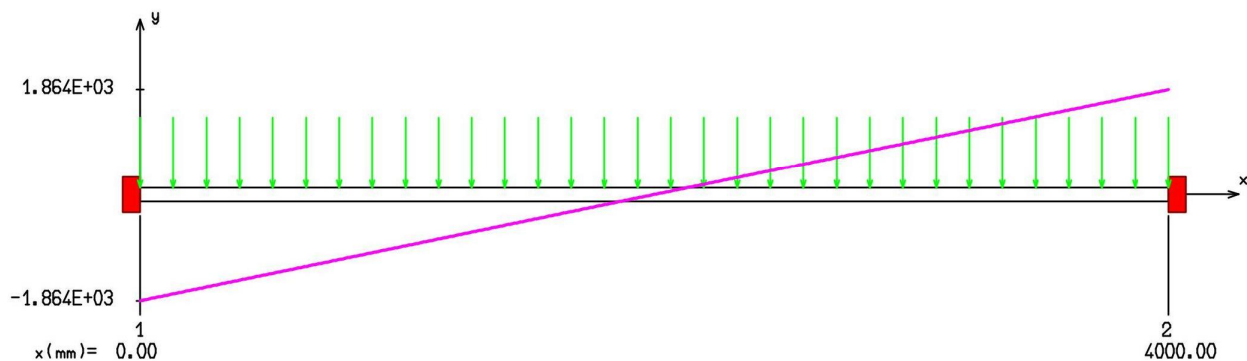


Poutre _encastrée _et _charge _répartie :

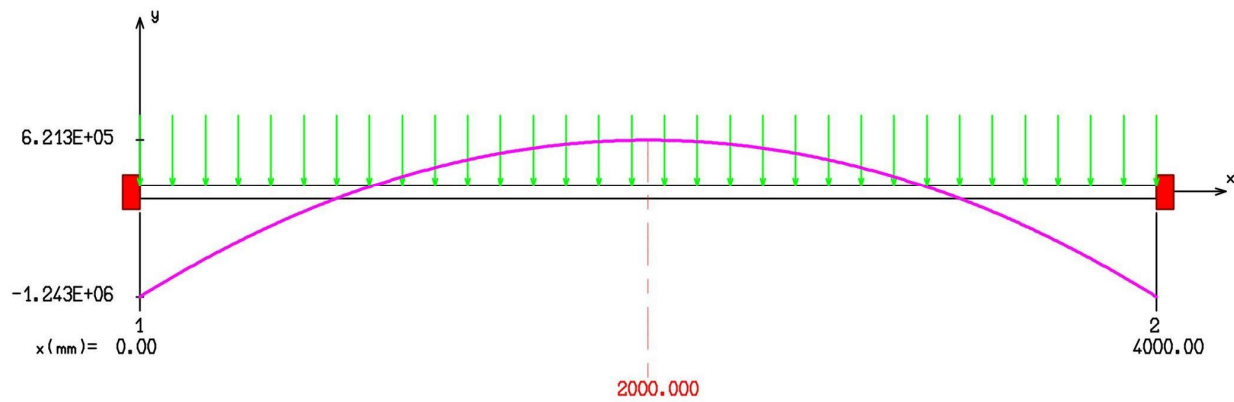
$$R_1 = \frac{P}{2} = \frac{380\text{kg}}{2} = 190\text{kg} = 1864\text{N}$$

$$M_1 = \frac{P \times L}{12} = \frac{380\text{kg} \times 4\text{m}}{12} = 127\text{m.kg} = 1243\text{mN} = 1243000\text{mmN}$$

EFFORT TRANCHANT [N]



MOMENT FLECHISSANT [N.mm]



- Nous appliquons une force verticale R_{1z} de $1864N / 4 = 466N$ sur les 4 bossages de la poutre SC300
- Nous appliquons une force horizontale $M1x+$ de $1243000mmN / 239mm = 5200N / 2 = 2600N$ sur les 2 bossages supérieurs
- Nous appliquons une force horizontale $M1x-$ de $1243000mmN / 239mm = 5200N / 2 = -2600N$ sur les 2 bossages inférieurs

Calcul ANGV259 ALU

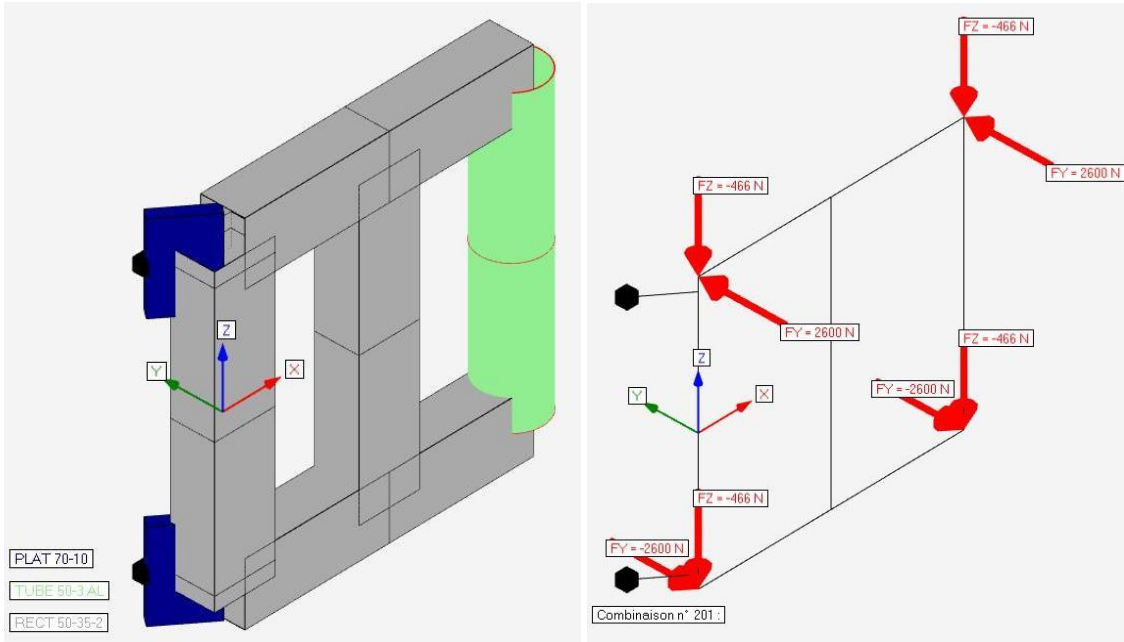


Tableau des nœuds

| N° | X (mm) | Y (mm) | Z (mm) | Appui |
|----|--------|--------|--------|--------------|
| 1 | 0 | 0 | 119.5 | Libre |
| 2 | 119.5 | 0 | 119.5 | Libre |
| 3 | 239 | 0 | 119.5 | Libre |
| 4 | 0 | 0 | 0 | Libre |
| 5 | 119.5 | 0 | 0 | Libre |
| 6 | 239 | 0 | 0 | Libre |
| 7 | 0 | 0 | -119.5 | Libre |
| 8 | 119.5 | 0 | -119.5 | Libre |
| 9 | 239 | 0 | -119.5 | Libre |
| 10 | 0 | 0 | 108 | Libre |
| 11 | 0 | 0 | -108 | Libre |
| 12 | -35 | 28 | 108 | Encastrement |
| 13 | -35 | 28 | -108 | Encastrement |

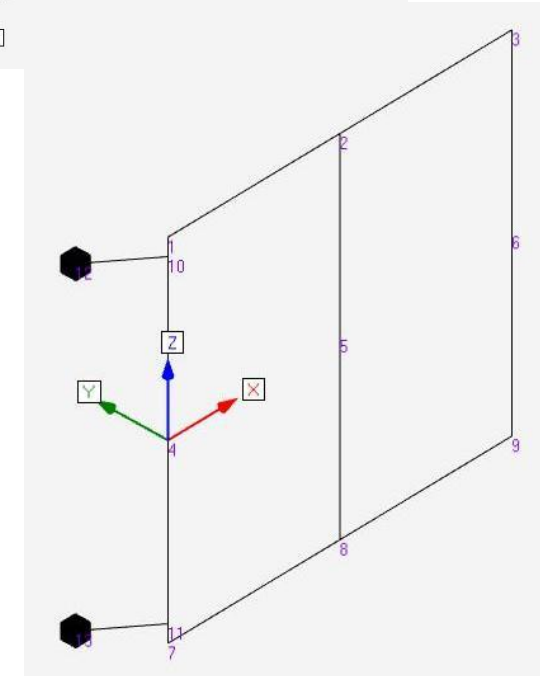
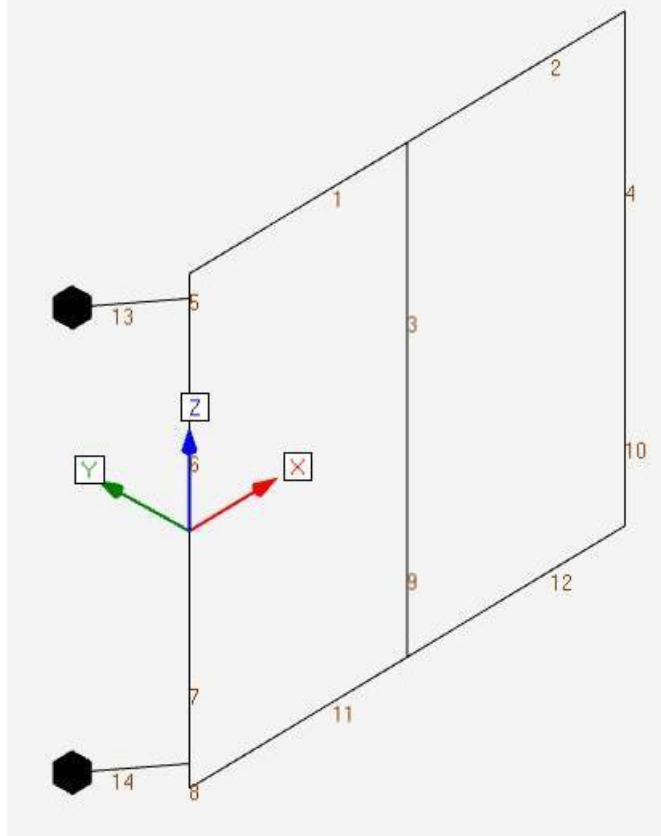


Tableau des barres

| N° | Noeud 1 | Noeud 2 | Profilé | Liaisons | Matériau | Angle (°) | L _{fy} (mm) | L _{fz} (mm) | L _{dev} (mm) | Modèle dévers. |
|----|---------|---------|--------------|----------|----------|-----------|----------------------|----------------------|-----------------------|-------------------|
| 1 | 1 | 2 | RECT 50-35-2 | Enc-Enc | 6005A-T6 | 0 | 120 | 120 | 120 | Aucun-déversement |
| 2 | 2 | 3 | RECT 50-35-2 | Enc-Enc | 6005A-T6 | 0 | 120 | 120 | 120 | Aucun-déversement |
| 3 | 2 | 5 | RECT 50-35-2 | Enc-Enc | 6005A-T6 | 0 | 120 | 120 | 120 | Aucun-déversement |
| 4 | 3 | 6 | TUBE 50-3 AL | Enc-Enc | 6005A-T6 | 0 | 120 | 120 | 120 | Aucun-déversement |

| | | | | | | | | | | |
|----|----|----|--------------|---------|----------|---|-----|-----|-----|-------------------|
| 5 | 1 | 10 | RECT 50-35-2 | Enc-Enc | 6005A-T6 | 0 | 12 | 12 | 12 | Aucun-déversement |
| 6 | 10 | 4 | RECT 50-35-2 | Enc-Enc | 6005A-T6 | 0 | 108 | 108 | 108 | Aucun-déversement |
| 7 | 4 | 11 | RECT 50-35-2 | Enc-Enc | 6005A-T6 | 0 | 108 | 108 | 108 | Aucun-déversement |
| 8 | 11 | 7 | RECT 50-35-2 | Enc-Enc | 6005A-T6 | 0 | 12 | 12 | 12 | Aucun-déversement |
| 9 | 5 | 8 | RECT 50-35-2 | Enc-Enc | 6005A-T6 | 0 | 120 | 120 | 120 | Aucun-déversement |
| 10 | 6 | 9 | TUBE 50-3 AL | Enc-Enc | 6005A-T6 | 0 | 120 | 120 | 120 | Aucun-déversement |
| 11 | 7 | 8 | RECT 50-35-2 | Enc-Enc | 6005A-T6 | 0 | 120 | 120 | 120 | Aucun-déversement |
| 12 | 8 | 9 | RECT 50-35-2 | Enc-Enc | 6005A-T6 | 0 | 120 | 120 | 120 | Aucun-déversement |
| 13 | 10 | 12 | PLAT 70-10 | Enc-Enc | 6060-T6 | 0 | 45 | 45 | 45 | Aucun-déversement |
| 14 | 11 | 13 | PLAT 70-10 | Enc-Enc | 6060-T6 | 0 | 45 | 45 | 45 | Aucun-déversement |



Caractéristiques matériaux

| Matériau | E (MPa) | ρ (kg/m³) | G (MPa) | Re (MPa) | Rm (MPa) |
|----------|---------|----------------|---------|----------|----------|
| 6060-T6 | 70000 | 2700 | 27000 | 140 | 170 |
| 6005A-T6 | 79500 | 2700 | 27000 | 225 | 270 |

Caractéristiques profilés

| Profilé | Ax (mm²) | Ay (mm²) | Az (mm²) | Wy (mm²) | Wz (mm²) | It (cm4) | Wt (cm3) | Iy (cm4) | Wely (cm3) | Iz (cm4) | Welz (cm3) | Cl. | Wply (cm3) | Wplz (cm3) | lw (cm6) |
|--------------|----------|----------|----------|----------|----------|----------|----------|----------|------------|----------|------------|-----|------------|------------|----------|
| RECT 50-35-2 | 324 | 140 | 200 | 117 | 167 | 12.4 | 6.34 | 11.3 | 4.52 | 6.4 | 3.68 | 1 | 5.48 | 4.26 | 0 |
| TUBE 50-3 AL | 443 | 266 | 266 | 266 | 266 | 24.6 | 9.82 | 12.3 | 4.91 | 12.3 | 4.91 | 1 | 6.63 | 6.63 | 0 |
| PLAT 70-10 | 700 | 583 | 583 | 467 | 467 | 2.1 | 2.12 | 28.6 | 8.17 | .6 | 1.17 | 1 | 12.25 | 1.75 | 0 |

Tableau des chargements

| CasN° | Nom | Type | Localisation | FX | FY | FZ | MX | MY | MZ | Niveau Eurocode3 |
|-------|------|-------|--------------|----|---------|--------|----|----|----|------------------|
| 1 | R1z | Nodal | 1/3/7/9 | | | -466 N | | | | Exploitation |
| 2 | M1x+ | Nodal | 1/3 | | 2600 N | | | | | Exploitation |
| 3 | M1x- | Nodal | 7/9 | | -2600 N | | | | | Exploitation |

Tableau des combinaisons

| N° | Nom | Cas | Coef | Cas | Coef | Cas | Coef | Règle | Niveau Eurocode3 |
|-----|-------|-----|------|-----|------|-----|------|----------|------------------|
| 201 | 1Q | 1 | 1 | 2 | 1 | 3 | 1 | Linéaire | ELS |
| 301 | 1.65Q | 1 | 1.65 | 2 | 1.65 | 3 | 1.65 | Linéaire | ELU |

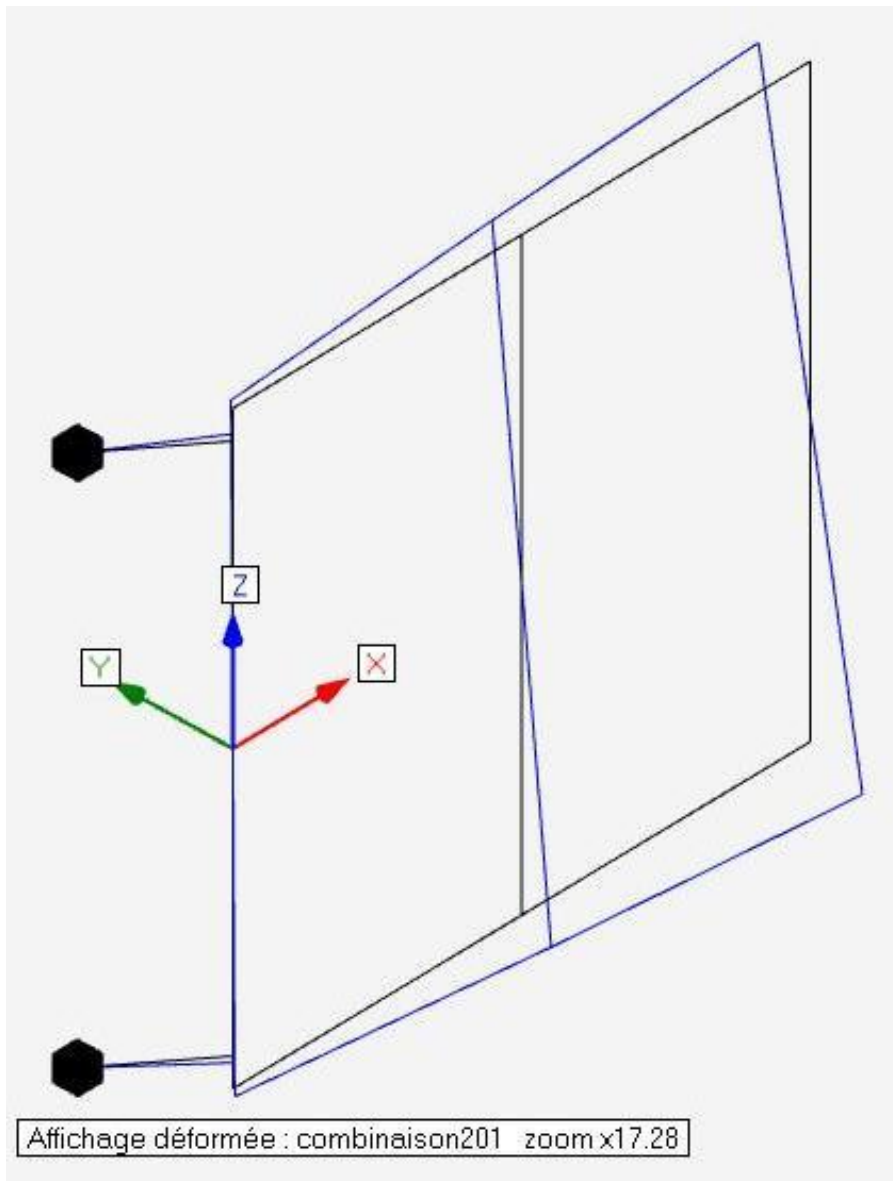
Résultats :

Résultats déplacements ELS 201

| Noeud | Cas | Dx (mm) | Dy (mm) | Dz (mm) | Rx (rad) | Ry (rad) | Rz (rad) |
|-------|-----|---------|---------|---------|----------|----------|----------|
| 3 | 201 | 0.14 | 1.33 | -0.35 | -0.01 | 0.00 | 0.00 |
| 2 | 201 | 0.14 | 0.81 | -0.18 | -0.01 | 0.00 | 0.00 |
| 1 | 201 | 0.14 | 0.18 | 0.00 | -0.00 | 0.00 | 0.01 |
| 10 | 201 | 0.12 | 0.15 | 0.00 | -0.00 | 0.00 | 0.00 |
| 12 | 201 | 0.00 | 0.00 | 0.00 | 0.00 | 0.00 | 0.00 |
| 13 | 201 | 0.00 | 0.00 | 0.00 | 0.00 | 0.00 | 0.00 |
| 4 | 201 | -0.00 | -0.00 | 0.00 | -0.00 | 0.00 | -0.00 |
| 5 | 201 | -0.00 | -0.00 | -0.18 | -0.01 | 0.00 | -0.00 |
| 6 | 201 | -0.00 | -0.00 | -0.35 | -0.01 | 0.00 | -0.00 |
| 11 | 201 | -0.12 | -0.15 | 0.00 | -0.00 | 0.00 | -0.00 |
| 7 | 201 | -0.14 | -0.18 | 0.00 | -0.00 | 0.00 | -0.01 |
| 8 | 201 | -0.14 | -0.81 | -0.18 | -0.01 | 0.00 | -0.00 |
| 9 | 201 | -0.14 | -1.33 | -0.35 | -0.01 | 0.00 | -0.00 |

Flèche horizontale au coin du cadre => $Dy = 1.33\text{mm} / 239\text{mm} = 1/180^{\text{ème}}$ => satisfaisant

Vue déformée (amplifiée x 17)



Résultats réactions ELU 301

| Noeud | Cas | Fx (N) | Fy (N) | Fz (N) | Mx (N.m) | My (N.m) | Mz (N.m) | Traction max (N) | Cisaillement max (N) |
|-------|-----|--------|--------|--------|----------|----------|----------|------------------|----------------------|
| 12 | 301 | -2 458 | -8 261 | 1 538 | 90 | 28 | -250 | 0 | 0 |
| 13 | 301 | 2 458 | 8 261 | 1 538 | 90 | 28 | 250 | 0 | 0 |

Les forces Fx, Fy et Fz (aux noeuds 12 et 13) sont appliquées aux soudures des tubes charnière:

Vérification des soudures
<http://www.freelam.com/tutoriel/analyse/assemblage/soudage.htm>

2 cordons //
4 cordons (// 2 à 2)
Cordon circulaire

Distribution selon techniques ingénieur BM 5 187 (Alain Michel)
Critère norme NF-P 22-470

Torseur

| | |
|---------------|----------------|
| Fx (N) = 2458 | Mx (N.m) = 90 |
| Fy (N) = 8261 | My (N.m) = 28 |
| Fz (N) = 1538 | Mz (N.m) = 250 |

Géométrie

| |
|--------------|
| a (mm) = 5 |
| L1 (mm) = 71 |
| L2 (mm) = 12 |

Matériau (acier)

| |
|----------------|
| σe (MPa) = 140 |
|----------------|

Résultats

k = 0.7 τ(perp) (MPa) = 54.53 La contrainte totale est comparée à la limite élastique.
 σ(perp) (MPa) = 54.53 τ(para) (MPa) = 23.29 C'est acceptable si le torseur est issu de chargements pondérés.
 Dans le cas contraire, il est préférable de diminuer la contrainte admissible (pondération minorant la limite élastique).

$k\sqrt{\sigma_{\perp}^2 + 3 \times (\tau_{\perp}^2 + \tau_{\parallel}^2)}$ (MPa) = 81.4 **Soudure justifiée**

Les forces Fx et Fy (aux noeuds 12 et 13) sollicitent les tubes charnière:

$$\text{Force_équivalente_F} = \sqrt{F_x^2 + F_y^2} = \sqrt{2458^2 + 8261^2} = 8619N$$

Cisaillement_tube_charnière:

$$\text{Section_tube_charnière_A}_v = \frac{0.6 \times \pi (D^2 - d^2)}{4} = \frac{0.6 \times \pi (30^2 - 21^2)}{4} = 216.3 \text{ mm}^2$$

$$\text{Force_admissible_F}_{v,Rd} = \frac{A_v \times f_y}{\sqrt{3} \times \gamma_{M0}} = \frac{216.3 \times 140}{\sqrt{3} \times 1} = 17483N$$

$$\text{Ratio_n} = \frac{8619}{17483} = 0.49 \Rightarrow \text{satisfaisant}$$

$$\text{Pression_de_Hertz_P}_{\max} = 0.418 \sqrt{\frac{F \times E}{r_r \times l}} = 0.418 \sqrt{\frac{8619 \times 79500}{210 \times 71}} = 90 \text{ MPa} < 350 \text{ MPa} \Rightarrow \text{satisfaisant}$$

$$\text{Avec } \frac{1}{r_r} = \frac{1}{10} - \frac{1}{10.5} = 0.005 \Rightarrow r_r = 210$$

Les forces Fx et Fy (aux nœuds 12 et 13) sollicitent l'axe acier ø20:

$$\text{Force_équivalente_F} = \sqrt{F_x^2 + F_y^2} = \sqrt{2458^2 + 8261^2} = 8619N$$

Cisaillement axe :

$$\text{Section_axe_A}_v = \frac{\pi \times d^2}{2 \times 4} = \frac{\pi \times 20^2}{8} = 157\text{mm}^2$$

$$\text{Force_admissible_F}_{v,Rd} = \frac{A_v \times f_y}{\sqrt{3} \times \gamma_{M0}} = \frac{157 \times 235}{\sqrt{3} \times 1} = 21301N$$

$$\text{Ratio_n} = \frac{8619}{21301} = 0.41 \Rightarrow \text{satisfaisant}$$

Flexion axe :

$$\text{Moment_Flechissant_M}_{Ed} = 8619N \times \frac{71\text{mm}}{2} = 305975\text{mmN}$$

$$\text{Moment_Résistant_M}_{pl,Rd} = \frac{W_{ply} \times f_y}{\gamma_{M0}} = \frac{1330 \times 235}{1} = 312550\text{mmN}$$

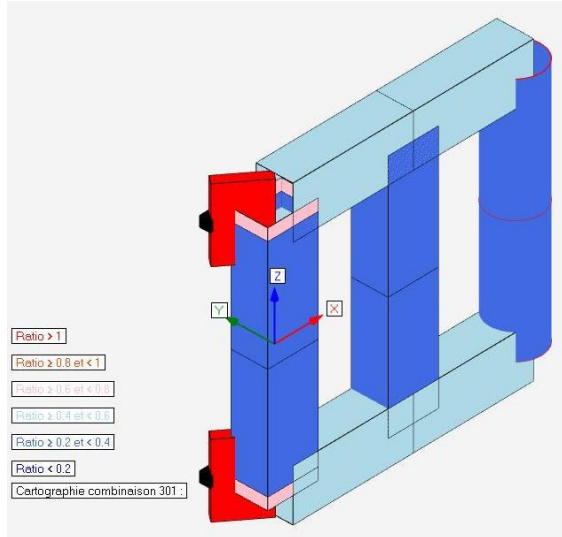
$$\text{Ratio_n} = \frac{305975}{312550} = 0.98 \Rightarrow \text{satisfaisant}$$

Résultats contraintes ELU 301

| Barre | Noeud | Cas | Axial (MPa) | Flexion Y (MPa) | Flexion Z (MPa) | Cisaillement Y (MPa) | Cisaillement Z (MPa) | Torsion (MPa) | σ (MPa) | τ (MPa) | Von Mises (MPa) | Ratio axial | Ratio cisaillement | Ratio flexion, axial et cisaillement | Ratio flambement Y | Ratio flambement Z | Ratio déversement | Ratio (6.61) | Ratio (6.62) | Ratio max |
|-------|-------|-----|-------------|-----------------|-----------------|----------------------|----------------------|---------------|----------------|--------------|-----------------|-------------|--------------------|--------------------------------------|--------------------|--------------------|-------------------|--------------|--------------|-----------|
| 13 | 12 | 301 | 4.6 | 6.4 | 143.1 | 17.1 | 3.3 | 25.0 | 154.1 | 42.2 | 170.5 | 0.0 | 0.5 | 1.1 | 0.0 | 0.0 | 0.0 | 0.7 | 1.1 | 1.1 |
| 14 | 13 | 301 | -4.6 | 6.4 | 143.1 | 17.1 | 3.3 | 25.0 | 154.1 | 42.2 | 170.5 | 0.0 | 0.5 | 1.1 | 0.0 | 0.0 | 0.0 | 0.0 | 0.0 | 1.1 |
| 8 | 7 | 301 | -4.7 | 7.0 | 47.0 | 59.2 | 7.3 | 21.6 | 58.8 | 81.1 | 152.2 | 0.0 | 0.6 | 0.3 | 0.0 | 0.0 | 0.0 | 0.0 | 0.0 | 0.6 |
| 8 | 11 | 301 | -4.7 | 9.6 | 65.7 | 59.2 | 7.3 | 21.6 | 80.0 | 81.1 | 161.6 | 0.0 | 0.6 | 0.4 | 0.0 | 0.0 | 0.0 | 0.0 | 0.0 | 0.6 |
| 5 | 1 | 301 | 4.7 | 7.0 | 47.0 | 59.2 | 7.3 | 21.6 | 58.8 | 81.1 | 152.2 | 0.0 | 0.6 | 0.3 | 0.0 | 0.0 | 0.0 | 0.2 | 0.2 | 0.6 |
| 5 | 10 | 301 | 4.7 | 9.6 | 65.7 | 59.2 | 7.3 | 21.6 | 80.0 | 81.1 | 161.6 | 0.0 | 0.6 | 0.4 | 0.0 | 0.0 | 0.0 | 0.2 | 0.3 | 0.6 |
| 13 | 10 | 301 | 4.6 | 12.0 | 61.5 | 17.1 | 3.3 | 25.0 | 78.1 | 42.2 | 107.0 | 0.0 | 0.5 | 0.6 | 0.0 | 0.0 | 0.1 | 0.4 | 0.6 | 0.6 |
| 14 | 11 | 301 | -4.6 | 12.0 | 61.5 | 17.1 | 3.3 | 25.0 | 78.1 | 42.2 | 107.0 | 0.0 | 0.5 | 0.6 | 0.0 | 0.0 | 0.1 | 0.0 | 0.0 | 0.6 |
| 1 | 1 | 301 | -3.8 | 7.0 | 32.1 | 22.4 | 4.6 | 31.6 | 42.8 | 54.2 | 103.2 | 0.0 | 0.4 | 0.2 | 0.0 | 0.0 | 0.0 | 0.0 | 0.0 | 0.4 |
| 1 | 2 | 301 | -3.8 | 9.8 | 41.2 | 22.4 | 4.6 | 31.6 | 54.7 | 54.2 | 108.7 | 0.0 | 0.4 | 0.2 | 0.0 | 0.0 | 0.0 | 0.0 | 0.0 | 0.4 |
| 11 | 7 | 301 | 3.8 | 7.0 | 32.1 | 22.4 | 4.6 | 31.6 | 42.8 | 54.2 | 103.2 | 0.0 | 0.4 | 0.2 | 0.0 | 0.0 | 0.0 | 0.1 | 0.2 | 0.4 |
| 11 | 8 | 301 | 3.8 | 9.8 | 41.2 | 22.4 | 4.6 | 31.6 | 54.7 | 54.2 | 108.7 | 0.0 | 0.4 | 0.2 | 0.0 | 0.0 | 0.0 | 0.2 | 0.2 | 0.4 |
| 12 | 8 | 301 | 1.5 | 6.4 | 10.7 | 23.6 | 4.6 | 28.9 | 18.6 | 52.7 | 93.2 | 0.0 | 0.4 | 0.1 | 0.0 | 0.0 | 0.0 | 0.1 | 0.1 | 0.4 |
| 12 | 9 | 301 | 1.5 | 10.3 | 66.7 | 23.6 | 4.6 | 28.9 | 78.5 | 52.7 | 120.4 | 0.0 | 0.4 | 0.3 | 0.0 | 0.0 | 0.0 | 0.2 | 0.3 | 0.4 |
| 2 | 2 | 301 | -1.5 | 6.4 | 10.7 | 23.6 | 4.6 | 28.9 | 18.6 | 52.7 | 93.2 | 0.0 | 0.4 | 0.1 | 0.0 | 0.0 | 0.0 | 0.0 | 0.0 | 0.4 |
| 2 | 3 | 301 | -1.5 | 10.3 | 66.7 | 23.6 | 4.6 | 28.9 | 78.5 | 52.7 | 120.4 | 0.0 | 0.4 | 0.3 | 0.0 | 0.0 | 0.0 | 0.0 | 0.0 | 0.4 |
| 7 | 4 | 301 | 0.0 | 0.0 | 0.0 | 11.6 | 7.5 | 38.5 | 0.0 | 50.7 | 87.8 | 0.0 | 0.4 | 0.0 | 0.0 | 0.0 | 0.0 | 0.0 | 0.0 | 0.4 |
| 7 | 11 | 301 | 0.0 | 24.5 | 34.4 | 11.6 | 7.5 | 38.5 | 58.9 | 50.7 | 105.7 | 0.0 | 0.4 | 0.3 | 0.0 | 0.0 | 0.1 | 0.0 | 0.0 | 0.4 |
| 6 | 10 | 301 | 0.0 | 24.5 | 34.4 | 11.6 | 7.5 | 38.5 | 58.9 | 50.7 | 105.7 | 0.0 | 0.4 | 0.3 | 0.0 | 0.0 | 0.1 | 0.0 | 0.0 | 0.4 |
| 6 | 4 | 301 | 0.0 | 0.0 | 0.0 | 11.6 | 7.5 | 38.5 | 0.0 | 50.7 | 87.8 | 0.0 | 0.4 | 0.0 | 0.0 | 0.0 | 0.0 | 0.0 | 0.0 | 0.4 |

Barres 13 et 14, plat de 70x10 = liaisons tubes charnières / axe ø20: Ratio maxi = 1.1 => satisfaisant

Barres 5 et 8, tube 50-35-2 = soudures tubes charnières / cadre: Ratio maxi = 0.6 => satisfaisant



Conclusion :

- L'ANGV259 ALU est compatible avec :
 - une charge verticale maxi de 190kg
 - un moment fléchissant maxi de 127m.kg

Rappel : *Poutre_encastrée_aux_2_extrémités_avec_une_charge_répartie_P(kg)* :

$$\text{Charge verticale} = \frac{P_{(kg)}}{2} \quad \text{et} \quad \text{Moment fléchissant} = \frac{P_{(kg)} \times L_{(m)}}{12}$$